

Homework 2

Alfredo Baione (s279328@studenti.polito.it)

December 22, 2020

Realizzato in collaborazione con Giulio Nenna (s245717)

Esercizio 1.

1. Il numero di 1 in $X(t)$ è:

$$\eta(x) = \sum_{i=0}^n x_i.$$

Sia

$$N(t) = \eta(X(t)) = \sum_{i=1}^n X_i(t)$$

il numero dei nodi foglia infetti al tempo t .

La matrice del kernel di mutazione riferita a tale processo è:

$$\psi = \begin{bmatrix} 1 & 0 \\ 1 & 0 \end{bmatrix},$$

mentre quelle associate al kernel di interazione sono:

$$\varphi(0) = \begin{bmatrix} 1 & 0 \\ 0 & 1 \end{bmatrix}, \quad \varphi(1) = \begin{bmatrix} 0 & 1 \\ 0 & 1 \end{bmatrix}.$$

È possibile osservare, allora, che le *active boundaries* di $X(t)$ coincidono e sono solo funzioni di $\eta(x)$:

$$\zeta_{01}(x) = \sum_{i,j} W_{ij} (1 - x_i) x_j = \zeta_{10}(x) = \sum_{i,j} W_{ij} (1 - x_j) x_i = n + 1 - \eta(x).$$

Ne risulta che $N(t)$ è una “birth-and-death” chain.

Ponendo $N(t) = k$, risulta:

$$\begin{aligned} \lambda_{N(t)}(x) &= (n - k) \psi_{01} + \zeta_{01}(x) \beta \varphi_{01}(1) = (n - k) \cdot 0 + (n + 1 - \eta(x)) \cdot \beta = (n - k) \cdot \beta, \\ \mu_{N(t)}(x) &= k \psi_{10} + \zeta_{10}(x) \beta \varphi_{10}(0) = k + (n + 1 - \eta(x)) \cdot \beta \cdot 0 = k. \end{aligned}$$

2. Sia $N(t) = k$. Nella costruzione dei rate di transizione della catena di Markov di nascita e morte $N(t)$, si ottiene:

$$\begin{aligned} \bullet \quad \forall k < n, \quad \lambda_{N(t)}(x) &= (n - k) \cdot \beta > 0 \quad (k = 1, \dots, n - 1); \\ \bullet \quad \forall k > 0, \quad \mu_{N(t)}(x) &= k > 0 \quad (k = n, \dots, 1). \end{aligned}$$

Pertanto, la catena è irriducibile.

L'unica distribuzione di probabilità invariante $\bar{\pi}$ di $N(t)$ avrà come componenti:

$$\begin{aligned} \bar{\pi}_i &= \frac{1}{\sum_{k=0}^n \prod_{j=0}^{k-1} \frac{\lambda_j}{\mu_{j+1}}} \cdot \prod_{j=0}^{i-1} \frac{\lambda_j}{\mu_{j+1}} = \\ &= \frac{1}{\sum_{k=0}^n \prod_{j=0}^{k-1} \frac{(n-j) \cdot \beta}{j+1}} \cdot \prod_{j=0}^{i-1} \frac{(n-j) \cdot \beta}{j+1}, \quad i = 0, \dots, n. \end{aligned}$$

3. Sia $n = 3$. Applicando la formula precedente, risulta che

$$\bar{\pi}_i = \frac{1}{\sum_{k=0}^3 \prod_{j=0}^{k-1} \frac{(3-j) \cdot \beta}{j+1}} \cdot \prod_{j=0}^{i-1} \frac{(3-j) \cdot \beta}{j+1}, \quad i = 0, \dots, 3,$$

da cui si ottiene:

$$\begin{aligned} \bar{\pi}_0 &= \frac{1}{1 + 3\beta + 3\beta^2 + \beta^3}, \\ \bar{\pi}_1 &= \frac{3\beta}{1 + 3\beta + 3\beta^2 + \beta^3}, \\ \bar{\pi}_2 &= \frac{3\beta^2}{1 + 3\beta + 3\beta^2 + \beta^3}, \\ \bar{\pi}_3 &= \frac{\beta^3}{1 + 3\beta + 3\beta^2 + \beta^3}. \end{aligned}$$

Per capire quando $\bar{\pi}_k$, $k = 0, \dots, 3$, è massima, è possibile studiare il comportamento di $\bar{\pi}_0$, $\bar{\pi}_1$, $\bar{\pi}_2$ e $\bar{\pi}_3$, rispetto alla variabile β , nell'intervallo $[0, +\infty)$.

Come si evince dal grafico, allora:

- se $0 \leq \beta \leq \frac{1}{3}$, $k = 0$ è lo stato per cui $\bar{\pi}_k$ è massima;
- se $\frac{1}{3} \leq \beta \leq 1$, $k = 1$ è lo stato per cui $\bar{\pi}_k$ è massima;
- se $1 \leq \beta \leq 3$, $k = 2$ è lo stato per cui $\bar{\pi}_k$ è massima;
- se $3 \leq \beta < +\infty$, $k = 3$ è lo stato per cui $\bar{\pi}_k$ è massima.

4. Sia

$$k_n = \arg \max_{k=0,\dots,n} (\bar{\pi}_k).$$

La catena di disuguaglianze

$$\frac{\bar{\pi}_{i+1}}{\bar{\pi}_i} \geq 1 \Leftrightarrow \frac{\lambda_j}{\mu_{j+1}} \geq 1 \Leftrightarrow (n-j) \cdot \beta \geq j \Leftrightarrow n\beta - j\beta \geq j \Leftrightarrow j + j\beta \leq n\beta \Leftrightarrow j \leq \frac{n\beta}{1+\beta}$$

prova che:

$$k_n = \arg \max_{k=0,\dots,n} (\bar{\pi}_k) = \left\lfloor \frac{n\beta}{1+\beta} \right\rfloor = \frac{n\beta}{1+\beta} - \epsilon, \quad 0 \leq \epsilon < 1.$$

Pertanto, si avrà:

$$\lim_{n \rightarrow +\infty} \frac{k_n}{n} = \lim_{n \rightarrow \infty} \left(\frac{n\beta}{n(1+\beta)} - \frac{\epsilon}{n} \right) = \frac{\beta}{1+\beta}.$$

Esercizio 2.

- (a) Agli archi e_1 ed e_2 corrispondono le funzioni di costo

$$\Delta_1 = \omega_1 \quad e \quad \Delta_2 = \omega_2 + \frac{3}{2}f_2,$$

dove ω_1 e ω_2 rappresentano i pedaggi applicati al passaggio dei corrispondenti flussi f_1 e f_2 , tali che $f_1 + f_2 = 1$.

Risulta che $f^{(\omega)} = (f_1^{(\omega)}, f_2^{(\omega)})$ è “equilibrio di Wardrop” se e solo se:

$$\begin{cases} f_1^{(\omega)} > 0 \Rightarrow \Delta_1 \leq \Delta_2 \Leftrightarrow \omega_1 \leq \omega_2 + \frac{3}{2}f_2^{(\omega)} \\ f_2^{(\omega)} > 0 \Rightarrow \Delta_2 \leq \Delta_1 \Leftrightarrow \omega_1 \geq \omega_2 + \frac{3}{2}f_2^{(\omega)} \end{cases} \Leftrightarrow \begin{cases} f_2^{(\omega)} = \frac{2}{3}(\omega_1 - \omega_2) \\ f_1^{(\omega)} = 1 - \frac{2}{3}(\omega_1 - \omega_2) \end{cases}.$$

- (b) Si consideri il gioco

$$(\mathcal{V} = \{1, 2\}, A = \{0, 1\}, U = \{u_i(\omega_1, \omega_2) = \omega_i f_i^{(\omega)}, i = 1, 2\}),$$

dove 1 e 2 rappresentano, rispettivamente, i gestori dei nodi o e d del suddetto grafo.

La funzione di *best response* del primo giocatore risulta essere

$$\begin{aligned} BR_1(\omega_2) &= \arg \max_{\omega_1 \in A} u_1(\omega_1, \omega_2) = \arg \max_{\omega_1 \in A} \omega_1 f_1^{(\omega)} = \arg \max_{\omega_1 \in A} \omega_1 \left(1 - \frac{2}{3}(\omega_1 - \omega_2)\right) = \\ &= \arg \max_{\omega_1 \in A} \omega_1 \left(1 - \frac{2}{3}\omega_1 + \frac{2}{3}\omega_2\right) = \arg \max_{\omega_1 \in A} \left(\omega_1 - \frac{2}{3}\omega_1^2 + \frac{2}{3}\omega_1\omega_2\right) = \frac{3}{4} + \frac{1}{2}\omega_2, \end{aligned}$$

mentre quella relativa al secondo è

$$\begin{aligned} BR_2(\omega_1) &= \arg \max_{\omega_2 \in A} u_2(\omega_2, \omega_1) = \arg \max_{\omega_2 \in A} \omega_2 f_2^{(\omega)} = \arg \max_{\omega_2 \in A} \omega_2 \left(\frac{2}{3}(\omega_1 - \omega_2)\right) = \\ &= \arg \max_{\omega_2 \in A} \omega_2 \left(\frac{2}{3}\omega_1 - \frac{2}{3}\omega_2\right) = \arg \max_{\omega_2 \in A} \left(\frac{2}{3}\omega_2\omega_1 - \frac{2}{3}\omega_2^2\right) = \frac{1}{2}\omega_1. \end{aligned}$$

- (c) Per trovare l’equilibrio di Nash del gioco in questione, si deve imporre che ogni giocatore giochi la sua *best response*, in risposta all’azione dell’altro giocatore. In tal caso, questo si traduce nella risoluzione del seguente sistema:

$$\begin{cases} \omega_1^* = \frac{3}{4} + \frac{1}{2}\omega_2^* \\ \omega_2^* = \frac{1}{2}\omega_1^* \end{cases} \Leftrightarrow \begin{cases} \omega_1^* = \frac{3}{4} + \frac{1}{2}\left(\frac{1}{2}\omega_1^*\right) \\ \omega_2^* = \frac{1}{2}\omega_1^* \end{cases} \Leftrightarrow \begin{cases} \omega_1^* = 1 \\ \omega_2^* = \frac{1}{2} \end{cases},$$

e tali sono i valori degli equilibri di Nash cercati.

Esercizio 3.

Si consideri il gioco $(\mathcal{V}, A, \{u_i\})$, caratterizzato da

$$\mathcal{V} = \{1, 2, \dots, n\}, \quad A = \{-1, +1\}, \quad u_i(x_i, x_{-i}) = \begin{cases} \frac{1}{2} \sum_{j \neq i} |x_i + x_j| & \text{se } i \in \mathcal{V}_1 \\ \frac{1}{2} \sum_{j \neq i} |x_i - x_j| & \text{se } i \in \mathcal{V}_2 \end{cases},$$

dove

$$\mathcal{V}_1 = \{1, 2, \dots, n_1\} \text{ e } \mathcal{V}_2 = \{n_1 + 1, n_1 + 2, \dots, n\}.$$

(a) Sia $n = 3$.

(a1) $n_1 = 3$.

$$\mathcal{V}_1 = \{1, 2, 3\}, \mathcal{V}_2 = \emptyset,$$

$$u_i = \frac{1}{2} \sum_{j \neq i} |x_i + x_j|, \quad \forall i.$$

Gli equilibri di Nash, pertanto, saranno dati dalle terne $(-1, -1, -1)$ e $(+1, +1, +1)$, perché entrambe le configurazioni, in tal caso, massimizzano le “utilities” di 1, 2 e 3.

(a2) $n_1 = 2$.

$$\mathcal{V}_1 = \{1, 2\}, \mathcal{V}_2 = \{3\},$$

$$u_1 = \frac{1}{2} \cdot (|x_1 + x_2| + |x_1 + x_3|),$$

$$u_2 = \frac{1}{2} \cdot (|x_2 + x_1| + |x_2 + x_3|),$$

$$u_3 = \frac{1}{2} \cdot (|x_3 - x_1| + |x_3 - x_2|).$$

Adesso, gli equilibri di Nash risultano essere individuati dalle configurazioni $(-1, -1, +1)$ e $(+1, +1, -1)$, poiché in questi stati qualsiasi altra azione di uno dei tre giocatori, mantenendo invariate quelle degli altri, non ne migliora l’ “utility”.

(a3) $n_1 = 1$.

$$\begin{aligned}\mathcal{V}_1 &= \{1\}, \mathcal{V}_2 = \{2, 3\}, \\ u_1 &= \frac{1}{2} \cdot (|x_1 + x_2| + |x_1 + x_3|), \\ u_2 &= \frac{1}{2} \cdot (|x_2 - x_1| + |x_2 - x_3|), \\ u_3 &= \frac{1}{2} \cdot (|x_3 - x_1| + |x_3 - x_2|).\end{aligned}$$

Gli equilibri di Nash sono individuati da $(+1, +1, -1)$, $(-1, +1, -1)$, $(+1, -1, +1)$ e $(-1, -1, +1)$, poiché in tali configurazioni, come spiegato anche in precedenza, nessun giocatore ha incentivo a cambiare la sua azione, se quella degli altri resta invariata.

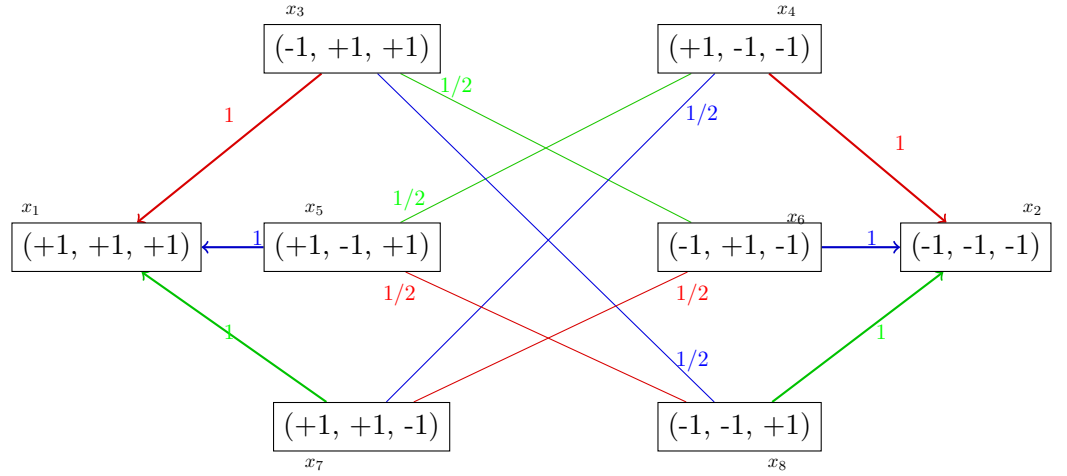
(a4) $n_1 = 0$.

$$\begin{aligned}\mathcal{V}_1 &= \emptyset, \mathcal{V}_2 = \{1, 2, 3\}, \\ u_i &= \frac{1}{2} \sum_{j \neq i} |x_i - x_j|, \quad \forall i\end{aligned}$$

e gli stati $(+1, -1, -1)$, $(-1, +1, -1)$, $(-1, -1, +1)$, $(-1, +1, +1)$, $(+1, -1, +1)$ e $(+1, +1, -1)$ saranno equilibri di Nash, per le ragioni già esposte.

- (b) Sia $n = 3$ e $X(0) = (+1, -1, +1)$ la configurazione iniziale della catena di Markov $X(t)$, a tempo continuo, corrispondente alla dinamica di *best response* asincrona per il gioco di sopra.

(b1) $n_1 = 3$.

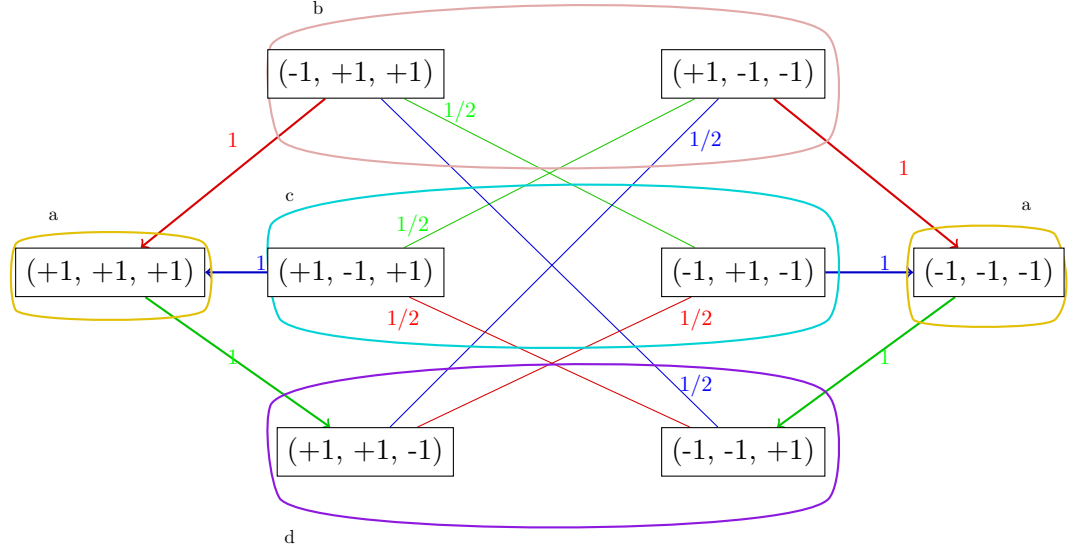


Come si può osservare dal grafo delle transizioni di configurazione con i relativi *rate* di transizione, risulta che

$$\lim_{t \rightarrow +\infty} \mathbb{P}(X(t) = x \mid X(0) = (+1, -1, +1)) = \left(\frac{1}{2}, \frac{1}{2}, 0, 0, 0, 0, 0, 0 \right)',$$

in quanto $X(t)$, per $t \mapsto +\infty$, finirà necessariamente in uno dei due stati assorbenti, $(-1, -1, -1)$ oppure $(+1, +1, +1)$, con probabilità pari a $\frac{1}{2}$ per entrambi.

(b2) $n_1 = 2$.



Il grafo di transizione, in tal caso, è fortemente connesso. Questo significa che esiste una sola misura invariante, π_x , a cui tenderà $\lim_{t \rightarrow +\infty} \mathbb{P}(X(t) = x \mid X(0) = (+1, -1, +1))$.

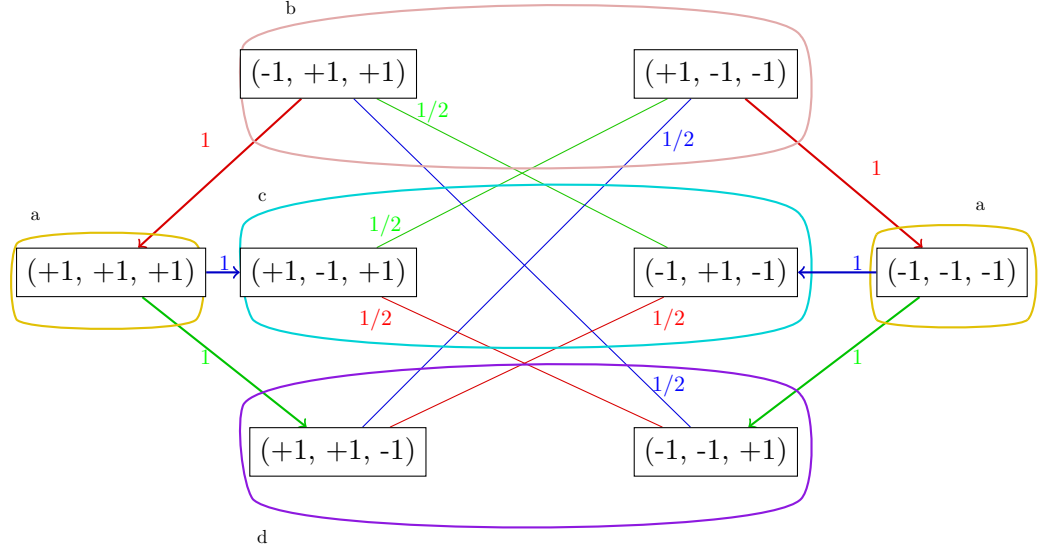
Sfruttando, allora, l'esistenza di 4 simmetrie, identificabili con π_a , π_b , π_c e π_d (ognuna associata ad un raggruppamento di colore diverso in figura), risulta individuato, a partire dai *rates* di transizione di ogni stato, il sistema lineare

$$\begin{cases} \pi_a = \pi_c + \pi_d \\ \pi_b = \pi_a \\ 2\pi_c = \frac{1}{2}\pi_b + \frac{1}{2}\pi_d \\ 2\pi_d = \frac{1}{2}\pi_b + \frac{1}{2}\pi_c \\ \pi_a + \pi_b + \pi_c + \pi_d = \frac{1}{2} \end{cases} \Leftrightarrow \begin{cases} \pi_a = \pi_b = \frac{1}{6} \\ \pi_c = \pi_d = \frac{1}{12} \end{cases},$$

da cui si ricava che

$$\lim_{t \rightarrow +\infty} \mathbb{P}(X(t) = x \mid X(0) = (+1, -1, +1)) = \pi_x = \left(\frac{1}{6}, \frac{1}{6}, \frac{1}{12}, \frac{1}{12}, \frac{1}{12}, \frac{1}{12}, \frac{1}{12}, \frac{1}{12} \right)'.$$

(b3) $n_1 = 1$.



Anche in tal caso il grafo di transizione risulta fortemente connesso e, quindi, esiste un'unica misura invariante, π_x , a cui tende

$$\lim_{t \rightarrow +\infty} \mathbb{P}(X(t) = x \mid X(0) = (+1, -1, +1)).$$

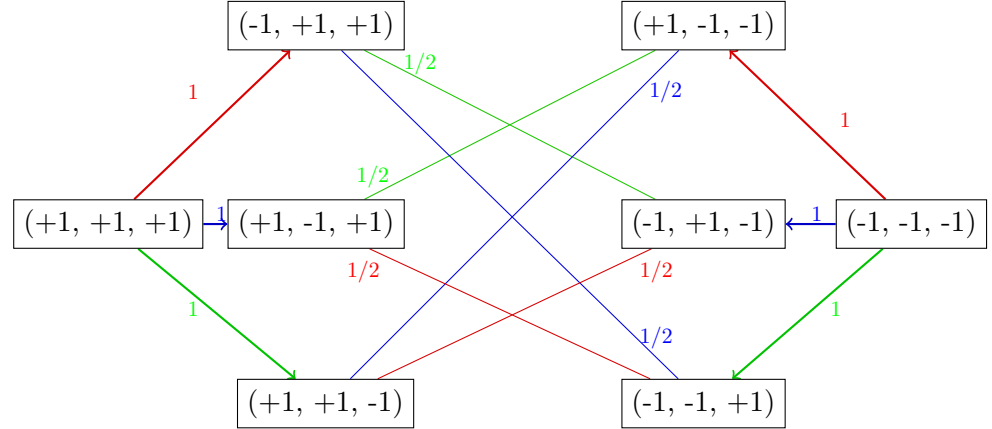
Come prima, grazie ai *rates* di transizione tra i diversi stati e alle quattro simmetrie presenti nel grafo (π_a , π_b , π_c e π_d), ricaviamo il sistema

$$\begin{cases} 2\pi_a = \pi_c \\ \pi_b = \pi_a + \frac{1}{2}\pi_c + \frac{1}{2}\pi_d \\ 2\pi_c = \frac{1}{2}\pi_b + \frac{1}{2}\pi_d \\ \pi_d = \pi_a + \frac{1}{2}\pi_b + \frac{1}{2}\pi_c \\ \pi_a + \pi_b + \pi_c + \pi_d = \frac{1}{2} \end{cases} \Leftrightarrow \begin{cases} \pi_a = \frac{1}{22} \\ \pi_b = \pi_d = \frac{2}{11} \\ \pi_c = \frac{1}{11} \end{cases},$$

da cui

$$\lim_{t \rightarrow +\infty} \mathbb{P}(X(t) = x \mid X(0) = (+1, -1, +1)) = \pi_x = \left(\frac{1}{22}, \frac{1}{22}, \frac{2}{11}, \frac{2}{11}, \frac{1}{11}, \frac{1}{11}, \frac{2}{11}, \frac{2}{11} \right)'.$$

(b4) $n_1 = 0$.



In quest'ultima configurazione del grafo di transizione esiste un solo stato assorbente del sistema, per $t \mapsto +\infty$, rappresentato dall'insieme $\{x_3, x_4, x_5, x_6, x_7, x_8\}$.

Pertanto, si avrà:

$$\lim_{t \rightarrow +\infty} \mathbb{P}(X(t) = x \mid X(0) = (+1, -1, +1)) = \left(0, 0, \frac{1}{6}, \frac{1}{6}, \frac{1}{6}, \frac{1}{6}, \frac{1}{6}, \frac{1}{6}\right)'.$$